文章编号:0253-9950(2012)01-0021-06

1AW 样品的预处理方法

邓惟勤,谈树苹,陶苗苗,吴继宗

中国原子能科学研究院 放射化学研究所,北京 102413

摘要:研究了以包覆有机物的二氧化硅为支持体,TBP、CMP和 CMPO等萃取剂为固定相,通过萃取色谱法共萃取样品中待测的铀、镎、钚,分离绝大部分放射性裂片。结果表明:采用硅基 TBP溶剂浸渍树脂进行预处理后,铀回收率接近 100%,镎和钚总的回收率为 99.6%;通过裂变核素去污因子可以估算,样品总 γ 放射性可以降低 1.3×10^3 倍,总 β 放射性可以降低 1.18×10^3 倍。

关键词:1AW;高放废液;萃取色谱

中图分类号:TL241 文献标志码:A

Pretreatment of 1AW Sample

DENG Wei-qin, TAN Shu-ping, TAO Miao-miao, WU Ji-zong

China Institute of Atomic Energy, P. O. Box 275(88), Beijing 102413, China

Abstract: In order to separate U, Np, and Pu from other radionuclides in 1AW high level liquid waste, an extraction chromatography method using silica-based polymeric materials resin coated with TBP, CMP, or CMPO as stationary phase was studied. After pretreatment with silica-based TBP-impregnated resin column the recovery of U is about 100%, the total recovery of Np and Pu can reach 99.6%. According to the decontamination factor of fission products, the total γ radioactivity and β radioactivity can be reduced by 1.3×10^3 times and 1.18×10^3 times, respectively.

Key words: 1AW; high level liquid waste; extraction chromatography

在后处理厂的工艺控制分析中,为了及时了解流程中铀、钚的含量及镎的走向,监控工艺运行状态,需要准确测定 1AW 中铀、镎、钚的量。 1AW溶液组成极其复杂,几乎含有所有的放射性裂片元素,放射性活度浓度很高,总 γ 放射性达到 1.7×10^{12} Bq/L。但铀、钚和镎的含量低 1.7×10^{12} Bq/L。但铀、钚和镎的含量低 1.7×10^{12} Bq/L。但铀、钚和镎的含量低 1.7×10^{12} Bq/L。但铀、钚和镎的含量低 1.7×10^{12} Bq/L。

由于 1AW 样品均需送至热室外的薄壁手套 箱中分析,如果通过高倍稀释样品以达到降低放 射性的目的,将使得样品中铀、钚和镎含量达到或低于检测下限。为了减少分析人员的照射剂量并保证分析结果的准确可靠,在热室内进行 1AW 样品的预处理、去除绝大部分β、γ放射性核素是必要的。当去污因子足够高时,预处理后的样品不用再大量稀释,样品可送至薄壁手套箱进行分析。

动力堆乏燃料(²³⁵U 富集度 3%,燃耗 33 000 MWd/tHM)在放置 5 a 后,⁹⁰ Sr 和¹³⁴ Cs、¹³⁷ Cs 是主要的中长寿命放射性核素,且在溶液中放射性活度大、

含量高。同时⁹⁰ Sr 的子体⁹⁰ Y 半衰期为 64.1 h, ¹³⁷ Cs的子体¹³⁷ Ba^m半衰期为 2.552 min。虽然⁹⁰ Y 是纯β放射性元素,但其高能强β放射性所产生的韧致辐射所造成的伤害不能被忽视。100 kg U 辐照后裂变产物组成中 ⁹⁰ Sr-⁹⁰ Y、¹³⁴ Cs、¹³⁷ Cs-¹³⁷ Ba^m占总放射性活度的 74%。因此,为了达到通过预处理降低放射性的目的,必须确保锶、铯、钇等几种裂变产物的去污效果。

法国原子能委员会(CEA)在分析 MOX 乏燃料溶解液时,在8 mol/L HNO。环境下使用Ce(IV)将铀、镎、钚均调价到六价后使用UTEVA萃取柱(戊基膦酸二戊酯浸渍树脂,专用于U和四价锕系元素的吸附)进行共萃取,成功实现了铀、钚、镎的快速分析[2],目前国内尚未见相关报道。但由于Ce(IV)在萃取柱上也易被吸附,所以需要严格控制Ce(IV)的加入量以避免萃取柱吸附容量的饱和。同时Ce(IV)氧化钚、镎的反应比较慢,需要15 min以上。因此该法依然值得深入研究。

萃取色谱法近年来在放化分析中得到越来越 多的应用。很多萃取剂如 TBP[3]、CMP 和 CMPO^[4]等对 U(Ⅵ)、Np(Ⅳ和Ⅵ)、Pu(Ⅳ和Ⅵ) 都有较高的分配比,而对锶和铯等裂片元素的分 配比很小。本研究拟选用包覆了聚合物的二氧化 硅为支持体,二氧化硅支持体具有机械强度好、孔 径较大且均匀、吸附容量大、吸附-解吸动力学性 能好等优点,并在二氧化硅表面包覆一层甲酰基 苯乙烯和二乙烯苯的共聚物进一步提高其化学稳 定性。树脂平均粒径为50μm,平均孔径600 nm。 采用不同的萃取剂 TBP、CMP 和 CMPO 为固定 相,采用静态和动态的方法,研究上述3种溶剂浸 渍树脂(solvent-impregnated resins,简称浸渍树 脂)(下文简称树脂)对铀、镎、钚和锶、铯等放射性 裂片元素的分离性能,以确定预处理的方法和技 术条件。

1 实验部分

1.1 仪器

固相萃取设备,美国 Sulpeco 公司; ICP-AES,美国 Thermo 公司; PQ2 型 ICP-MS,英国 VG 公司; Dionex-4000i 离子色谱仪,美国戴安公司; α 计数器,北京核仪器厂。

1.2 试剂及主要料液

聚苯乙烯基 TBP 溶剂浸渍树脂,粒径为

0.177~0.210 mm; TBP、CMP和 CMPO 硅基溶剂浸渍树脂,平均颗粒直径 50 μ m,平均孔径 600 nm,孔隙率 0.69,萃取剂质量百分数为 40%,浙江大学; 钚溶液、 镎溶液均使用 TTA-二甲苯溶液纯化。铀溶液为溶解的硝酸铀酰溶液。不含镎和钚的模拟样品为已知浓度的硝酸铀酰、硝酸铯、硝酸锶、三氧化二钇以及浓硝酸配制。含铀及其他裂片元素模拟样品按照相关数据,使用对应元素的盐溶解制成。其它试剂均为市售、分析纯。

1.3 实验方法

1.3.1 静态实验 取一定量样品溶液调节至一定酸度,加一定量树脂,振荡至吸附平衡,取部分上层清液测定所加各元素的含量,计算吸附分配系数 K_d :

$$K_{\rm d} = \frac{c_0 - c}{c} \times \frac{V}{m} \tag{1}$$

其中: K_d ,mL/g; c_0 ,溶液初始元素浓度;c,吸附后溶液元素浓度;V,水相体积;m,树脂质量。

1.3.2 动态实验 制备色谱柱:取树脂用去离子水浸泡 12 h,湿法装柱。小萃取柱装入 0.5 g树脂,树脂部分内径 7 mm,高 25 mm,自由柱体积约 1 mL。用 3~5 mol/L HNO3平衡备用。分离程序:取一定量样品溶液,调至一定酸度上柱,流速约 0.5 mL/min。首先用相同酸度的HNO3溶液淋洗色谱柱,收集流出液进行分析;再用一种或两种洗脱液淋洗色谱柱,收集流出液进行分析。

1.4 分析方法

铀及裂片元素采用电感耦合等离子体发射光谱(ICP-AES)或电感耦合等离子体质谱(ICP-MS)分析;镎、钚采用α计数测定。

2 结果与讨论

2.1 静态吸附试验

2.1.1 振荡时间对铀分配系数的影响 称取约50 mg 的树脂若干份于萃取管中,加入含 1.8 mg 铀的 3 mol/L HNO。溶液,考察振荡时间对铀分配系数的影响,结果示于图 1。从图 1 可以看出,4 种树脂吸附铀的速度都很快,10 min 基本都达到了平衡;4 种树脂吸附铀的分配系数的大小顺序为聚苯乙烯基 TBP 树脂《硅基 TBP 树脂《硅基 CMP 树脂《硅基 CMP 树脂《硅基 CMP 树脂。

2.1.2 硝酸浓度对分配系数的影响 分别称取

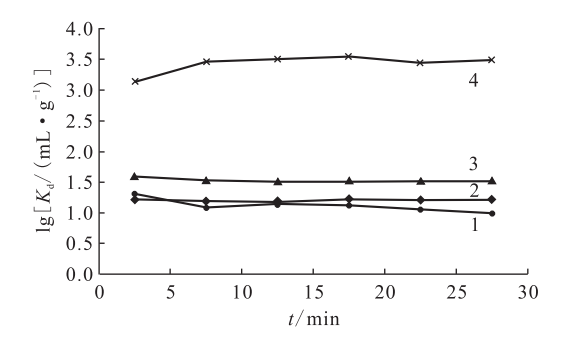


图 1 振荡时间对铀分配系数的影响

Fig. 1 Effect of shaking time on the distribution coefficient of uranium

——聚苯乙烯基 TBP(TBP polystyrene-based resin),

2——TBP,3——CMP,4——CMPO

约 50 mg 的树脂若干份于萃取管中,加入一定量样品溶液,其中镎、钚溶液为经过 NaNO₂ 及 NH₄ VO₃ 调价的溶液。改变硝酸浓度,考察硝酸浓度变化对分配系数的影响,结果示于图 $2\sim4$ 。由图 2 可知,在 $1\sim6$ mol/L 硝酸浓度范围内,铀、镎和钚在硅基 TBP 溶剂浸渍树脂的分配系数均随硝酸浓度的增大而增大。而不同金属离子的吸附顺序为 Np⁶⁺ > Pu⁴⁺ > U⁶⁺ \gg Sr²⁺ > Y³⁺ > Cs⁺。由图 3 和图 4 可知,硅基 TBP、CMP 和 CMPO 溶剂浸渍树脂吸附金属离子的能力为 CMPO>CMP>TBP。总体来说,锶、铯和钇分配系数均较小且酸度对分配系数的影响也较小。

2.2 动态吸附实验

2.2.1 锶、铯、钇和铀的淋洗曲线 取一定量样 品溶液,调酸至 3 mol/L 上柱,流速约 0.5 mL/min。然后使用 3 mol/L HNO₃淋洗色谱柱,再用

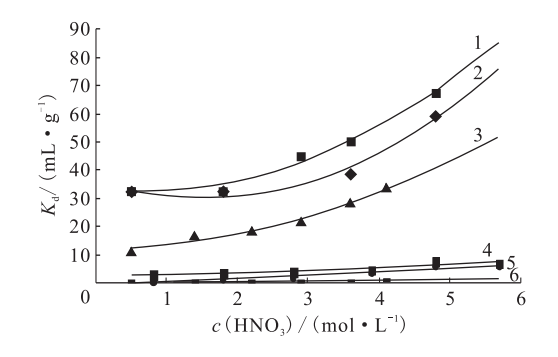


图 2 硅基 TBP 溶剂浸渍树脂上 硝酸浓度对各离子分配系数的影响

Fig. 2 Effect of nitric acid on the distribution coefficient of various ions on silica-based TBP-impregnated resin

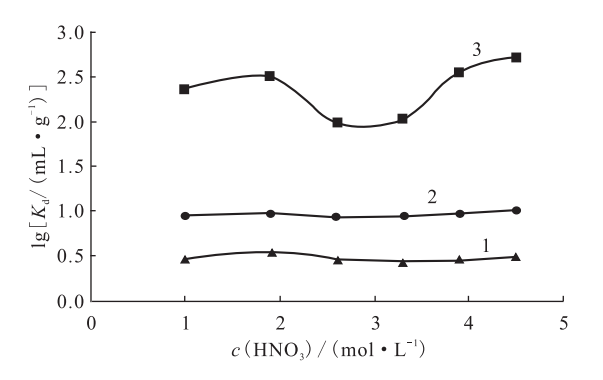
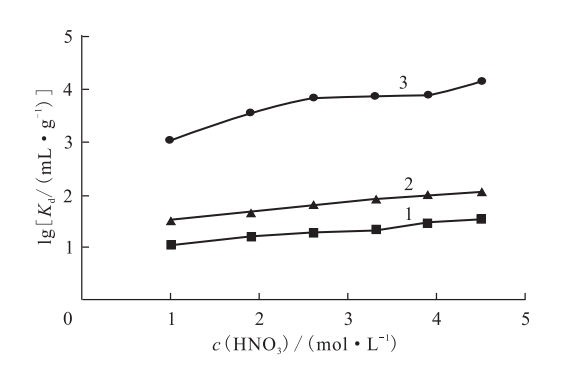


图 3 不同固定相、硝酸浓度对钇分配系数的影响 Fig. 3 Effect of nitric acid and stationary phase on the distribution coefficient of yttrium 1——TBP,2——CMP,3——CMPO



硝酸浓度对 U(N)分配系数的影响 Fig. 4 Effect of nitric acid concentration on the distribution coefficient of U(N) for different solvent-impregnated resins 1——TBP,2——CMP,3——CMPO

图 4 不同硅基溶剂浸渍树脂、

去离子水淋洗色谱柱,最后采用 0.7 mol/L 甲酸铵淋洗色谱柱。绘制淋洗曲线示于图 5。从图 5可知,硅基 CMP 树脂对锶、铯、钇和铀的分离效果比较好,但 3 mol/L HNO。淋洗锶、铯、钇时稍有拖尾;硅基 CMPO 树脂的吸附性能过于强烈,在 3 mol/L HNO。淋洗时只能洗脱锶、铯,而钇必须使用去离子水才能洗脱,同时铀在甲酸铵淋洗下才能完全洗脱;硅基 TBP 树脂对锶、铯、钇和铀的分离效果也比较好,5 mL 3 mol/L HNO。可以完全洗脱锶、铯、钇,铀被5 mL去离子水完全洗脱,效果良好;而聚苯乙烯基 TBP 溶剂浸渍树脂对锶和钇洗脱稍有拖尾,去离子水并不能完全洗脱铀,部分在甲酸铵中被洗脱。

2.2.2 锶、铯、钇和铀的分离 通过动态实验得到锶、铯、钇的去污因子和铀的回收率,结果列于表1。由表1可以看出,每种色谱柱的锶、铯、钇

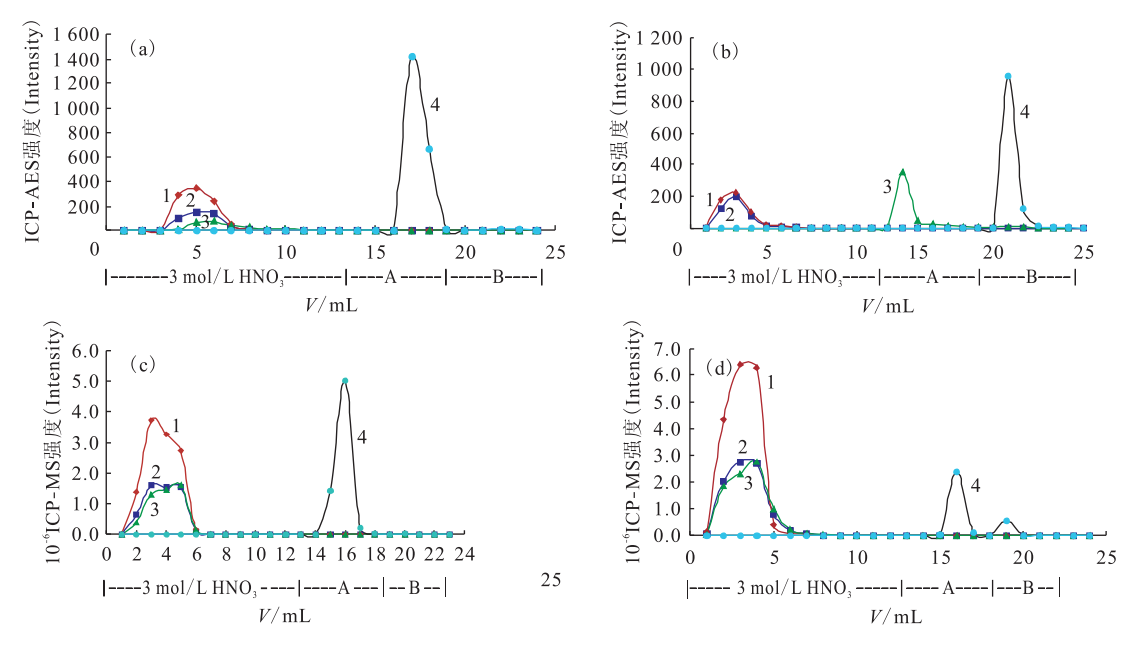


图 5 硅基 CMP 树脂(a)、硅基 CMPO 树脂(b)、硅基 TBP 树脂(c)和聚苯乙烯基 TBP 树脂(d)上各金属离子淋洗曲线 Fig. 5 Elution curves of Sr²⁺, Cs⁺, Y³⁺ and U⁶⁺ on CMP silica-based resin(a), CMPO silica-based resin(b),

TBP silica-based resin(c), and TBP polystyrene-based resin(d)

表 1 锶、铯、钇的去污因子和铀的回收率

Table 1 Decontamination factor of Sr, Cs, Y and the recovery of U

—————————————————————————————————————	去污因子(Decontamination factor)			U回收率	
(Resins)	Cs	Sr	Y	(Recovery of U)	
聚苯乙烯基 TBP(TBP polystyrene-based resin)	2. 1×10^4	1. 9×10^4	2. 6×10^3	99.80%	
硅基 TBP(TBP silica-based resin)	1.5 \times 10 ⁴	7. 6×10^3	2.1 \times 10 ³	99.82%	
硅基 CMP(CMP silica-based resin)	2. 3×10^4	1. 2×10^4	2.6 \times 10 ³	99.75%	
硅基 CMPO(CMPO silica-based resin)	2.6 \times 10 ⁴	6. 9×10^3	2.0×10^3	99.50%	

去污因子都大于 1 000、铀的回收率都大于 99.5%,但从淋洗曲线来看硅基 TBP 溶剂浸渍树脂性能最佳。

2.2.3 铀和其他主要放射性裂片元素的分离 为了考察各色谱柱对铀及其他裂片元素的吸附和解吸情况,进行了动态淋洗实验,洗脱液使用 ICP-AES 分析各元素浓度,淋洗曲线示于图 6,所有元素回收率及去污因子列入表 2。由图 6 可知,绝大部分裂片元素在前 5 mL 内已淋洗下来,在硅基TBP 溶剂浸渍树脂上基本无保留,Ag、Cd 和 Sb 稍有拖尾,Te 稍有拖尾但在前 5 mL 也已被洗脱完全。由表 2 可知,裂片元素回收率均在 100%左右,U 回收率为 104.4%。根据各元素去污因子以及各元素在乏燃料(燃耗33 000 MWd/tHM,在放置

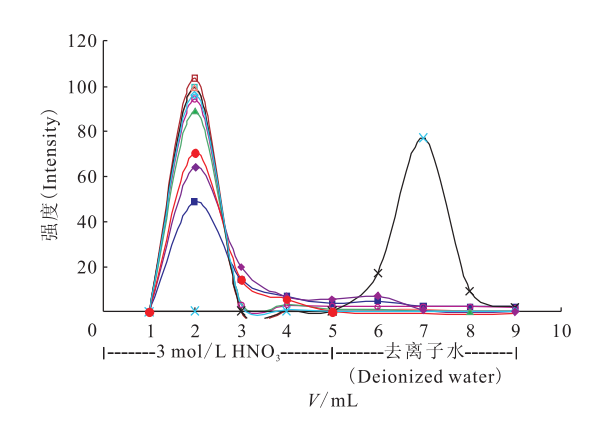


图 6 硅基 TBP 树脂上铀及其他裂片元素的淋洗曲线 Fig. 6 Elution curves of other fission products on TBP silica-based resin

$$\times$$
 — U, \blacksquare — Ag, \spadesuit — Sb, \spadesuit — Te, \blacktriangle — Ru, \bigcirc — Cd, \square — Sm, \triangle — Ce, \square — Eu, \diamondsuit — Zr

105.3

U

Table 2 Decontamination factor of other fission products and the recovery of U							
元素 (Elements)	去污因子	回收率	元素 (Elements)	去污因子 (Decontamination factor)	回收率 (Recovery)/%		
(Elements)	(Decontamination factor)	(Recovery)/%	(Elements)	(Decontamination factor)	(Recovery)//0		
Ag	32.02	98.5	Zr	134.6	97. 9		
Cd	84.80	109.8	Ru	804. 1	99.9		
Ce	315.5	102.1	Sm	7 467	103. 4		
Eu	3 510	100.8	Sb	33. 08	103. 2		

Te

表 2 其他裂片元素回收率及去污因子

104.4

10 a 后)中存在的放射性同位素的比活度,以 5 mL 铀、镎和钚洗脱液中裂片总量计算,总 γ 放射性活度浓度可以从 1.755×10^{12} Bq/L 降低至 1.35×10^{9} Bq/L,降低了约 1.3×10^{3} 倍;总 β 放射性活度浓度从 1.045×10^{12} Bq/L 降低至 8.86×10^{8} Bq/L,降低了约 1.18×10^{3} 倍。 106 Rh 为 106 Ru 子体, 144 Pr 为 144 Ce 子体,且半衰期分别为 29.92 s 和 1 032 s,去污因子同母体计算。

2.3 铀、镎和钚的共萃取及洗脱

- 2.3.1 氧化剂选择 在酸性条件下, TBP 对于 铀、镎、钚的最佳萃取价态组合是 U(VI)、Np(VI) 和 Pu(IV)。由于镎和钚电子壳层 5f 和 7s 电子能 级的接近和不稳定性决定了镎、钚价态的多样性 和化学行为的复杂性,很难寻找到适当的氧化剂 和还原剂使铀、镎、钚均保持在可萃取状态,因此 铀、镎、钚共萃取一直是后处理领域的难点之一。 镎的氧化可以选择多种氧化剂,如偏钒酸胺 (NH₄ VO₃)、KMnO₄、AgO、K₂ Cr₂ O₇ 等,由于 KMnO₄、AgO、K₂Cr₂O₇为强氧化剂,把Np氧化 到 6 价的同时, 钚也氧化至 6 价, 不利于钚在 TBP 上的吸附。偏钒酸胺氧化还原电位较低,能 以较快的速率将镎自5价氧化至6价。由于要生 成 O=Pu=O 键,4 价钚氧化到 6 价的反应非常 缓慢[5]。综上所述,本实验选用偏钒酸胺作为调 价试剂。
- 2.3.2 镎、钚单独萃取 由于镎、钚在不同酸度 和氧化还原气氛中存在的价态不同,为了考察同 样酸度和氧化剂存在状况下镎、钚的吸附情况,首 先考察酸度、淋洗液以及氧化剂偏钒酸胺对单独 存在的镎或钚的影响。
- (1) 淋洗裂片的淋洗液对镎回收率的影响 由于镎的稳定价态为五价,六价镎在 HNO₃ 淋洗裂片过程中会因 HNO₃中存在一定量的亚硝

酸而把六价镎还原到五价。而四价钚在较浓的 HNO_3 中很稳定,实验中采用了 $3 \text{ mol/L } HNO_3$ 以及 $3 \text{ mol/L } HNO_3$ -0.005 $\text{mol/L } NH_4 VO_3$ 淋洗裂片,经测定随裂片元素淋洗下来的镎质量分数分别为 15.2%和 7.3%,说明向淋洗液中加入少量氧化剂有助于将镎稳定在 6 价,可减少镎的损失。

1018

(2) 样品酸度对吸附的影响

通过上述实验可以看出, 3 mol/L HNO_3 体系中仍有少量镎流失,本实验考察了体系酸度对镎、钚吸附的影响。取一定量镎或钚溶液分别加入一定量 0.05 mol/L 偏钒酸胺,用 8 mol/L HNO_3 调节不同酸度,震荡 20 min,取 0.5 mL Let。首先采用 5 mL 相应Let 浓度 HNO_3 -0.005 mol/L $NH_4 \text{ VO}_3$ 淋洗出裂片元素,最后用 5 mL 0.1 mol/L HF- 0.1 mol/L HNO_3 淋洗出镎或钚,用 α 计数法测定 镎或钚在后 5 mL 的回收率,结果列入表 3。由表 3 可知,随着样品中 HNO_3 浓度的增大,镎、钚回收率逐渐提高。在 4 HNO_3 浓度大于 4 5 mol/L 的条件 下,镎、钚可定量回收。

表 3 样品硝酸浓度对镎、钚回收率的影响 Table 3 Effect of nitric acid concentration on the recovery of Np and Pu

$c(\mathrm{HNO_3})/$	Np 回收率	Pu 回收率	
$(\text{mol} \cdot L^{-1})$	(Recovery)	(Recovery)	
3	92.7%	95.6%	
4	97.9%	98.1%	
5	101%	99.6%	
6	102%	99.6%	

2.3.3 铀、镎、钚洗脱剂的选择 铀、镎和钚可以利用镎和钚价态变化采用单独洗脱,但考虑热室中操作需简便,因此采用0.1 mol/L HF-0.1 mol/L

HNO。同时洗脱铀、镎和钚。

2. 3. 4 铀、镎、钚共吸附和淋洗 配制元素浓度接近于 1AW 的样品模拟料液,其中 $\rho(U)=0.15 \, \mathrm{g/L}$ 、 $\rho(\mathrm{Pu})=2\times10^{-3} \, \mathrm{g/L}$ 、 $\rho(\mathrm{Np})=0.075 \, \mathrm{g/L}$ 。 先将料液加入一定量偏钒酸胺,调酸至 5 $\mathrm{mol/L}$,震荡后放置20 min ,取 1 mL 调酸调价后的溶液上柱。首先采用5 mL 5 $\mathrm{mol/L}$ HNO₃-0.005 $\mathrm{mol/L}$ NH₄ VO₃ 淋洗出裂片元素,最后用 5 mL 0.1 $\mathrm{mol/L}$ HF-0.1 $\mathrm{mol/L}$ HNO₃洗脱出镎或钚。采用 α 计数测量,镎和钚总的回收率为 99.6%。

3 结 论

验证了溶剂浸渍树脂对于放射性裂片元素的去污效果:在流速 0.5~mL/min 时,3 种树脂都可满足锶、铯和钇去污因子都大于 1~000、铀的回收率大于 99.5%的要求。其中,硅基 TBP 溶剂浸渍树脂能在较少的淋洗体积内去除锶、铯和钇,铀淋洗较容易。经计算总 γ 放射性可以降低 1.3×10^3 倍,总 β 放射性可以降低 1.18×10^3 倍。

通过实验初步建立了 1AW 样品的预处理方法:样品料液采用 0.05 mol/L NH_4 VO_3 调价, 酸度调至 5 mol/L, 经硅基 TBP 溶剂浸渍树脂吸附, 先采用 5 mL 5 mol/L HNO_3 -0.005 mol/L NH_4 VO_3 淋洗出裂片元素,最后用5 mL 0.1 mol/L

 $HF-0.1 \text{ mol/L HNO}_3$ 洗脱出镎或钚,铀回收率接近 100%,镎和钚总的回收率为 99.6%。

参考文献:

- [1] 翟虎刚,马精德,姜国杜,等. 1AW 高放废液中 U、Np、Pu 的分离调研报告[C]//中国核学会核化工分会 2009 后处理专业组研讨会文集. 北京:中国核学会核化工分会,2009:127-136.
- [2] Crozet M, Guigue M. Separation of Actinides From Fission Products by Extraction Chromatography Prior to X-Ray Fluorescence Measurement for Analytical Control of a PUREX Test[J]. Radiochim Acta, 2007, 95:625-628.
- [3] 江浩,朱建民,吴浩. 高酸 Purex 流程镎走向控制及 其回收纯化工艺研究[J]. 原子能科学技术,1992,26 (3):28-34.
- [4] Wei Yuezhou, Kumagai Mikio, Takashima Yoichi.
 Studies on the Separation of Minor Actinides From
 High-Level Wastes by Extraction Chromatography
 Using Novel Silica-Based Extraction Resins[J].
 Nucl Technol, 2000, 132(3); 413-423.
- [5] Martin Precek, Alena Paulenova. Kinetics of Oxidation of Pentavalent Neptunium by Pentavelent Vanadium in Solution of Nitric Acid[J]. Mater Sci Eng, 2010, 9(1);012074.